

Zn - Pb

1897

V 852

Mosnier

Ann. chim. phys., 1897, 12, 374 ZnJ_2 , aq) $2NiJ \cdot PbJ_2$) $2ZnJ_2 \cdot PbJ_2$) $2NiJ \cdot PbJ_2 \cdot 3Hf_2$) $2CdJ_2 \cdot PbJ_2$) COJ_2, FeJ_2) $2FeJ_2 \cdot PbJ_2$)MnJ)

EOTB	1/2 K.
lith. H.	fol.

M, M

F

$\text{MnJ}_2 \cdot \text{PbJ}_2$, MnJ_2 , $\text{PbJ}_2 \cdot 3\text{H}_2\text{O}$, CrJ_2 ,

$2\text{CrJ}_2 \cdot \text{PbJ}_2$, $2\text{CrJ}_2 \cdot \text{PbJ}_2 \cdot 3\text{H}_2\text{O}$ (Δ II^f)

V 1076

1935

9022

Stuckert

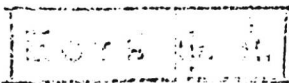
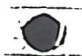
1. Sprechsaal Keramik. Glass
Emal., 1935, 68, 321-324, 337-339,
353-355, 369-370

$2\text{PbO} \cdot \text{Sb}_2\text{O}_5$, $3\text{PbO} \cdot \text{Sb}_2\text{O}_5$ (kp, Hf)

ZnO. $\text{PbO} \cdot \text{Sb}_2\text{O}_5$, (kp, Hf)

$\text{Al}_2\text{O}_3\text{PbO}$, Sb_2O_5 (kp, Hf)

M



1

PbZn

BGP-6664-IV

1948

SG, S.S.

J. Zimmerman

Tm

H.

Chem loc.

6664

Pb (ss)

Lumsden J.

Discussions Faraday Soc., 1948, N
4, 60-68

The thermodynamics of ...

W

1956

V 1075

PbCl₂.2ZnCl₂, ZnCl₂.2RbCl, CsCl.2ZnCl₂,
ZnCl₂.2CsCl, ZnCl₂.3CsCl (Tm)

Марков Б.Ф., Панченко И.Д.,
Костенко Т.Г.

Укр.хим.ж. 1956, 22, № 3, 287-291
Диаграммы фазовых превращений

РХ., 1957, 22325



ЕУТЬ Ф. К.
Ве

F

V 1086

1959

δ Hmix (Zn c Pb)

Predel B.

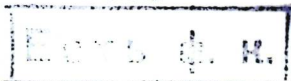
Z. phys. Chem. (BRD), 1959, 20, N 3-4,
150-165

Thermodynamische Untersuchungen an
flüssigen Blei-Zink-Legierungen

PX., 1960, 12566

Foto

W,



1964

V 2888

Pb-Zn (δ Hmix)

Todd D.D., Oates G.A.

Trans. Metallurg. Soc. AIME,
1964, 230, N 1, 244-246

The heats of mixing

Orig.

L, W

3378-VI

1965

Zn-Pb ($\Delta g, \Delta S$)

Todd D.D., Oates W.A., Hall E.O.

J. Ins. Metals, 1965, 93, N 9, 302-08

A calorimetric study of the shermos dinamic properties of lead-zinc alloys in the molten state.

PJM, 1965, 11Al2

W

F

VII M_2PbF_6 , $\text{M}_2 = \text{Mg, Zn, Cd, Hg, Ni}$

1965

cr. str.

VI 7023

IX Homann R., Hoppe R.

Z. anorgan. und allgem. Chem., 1969, 368,

NS-6, 271-278

Neue Hexafluoroplumbate (IV). MgPbF_6 ,
 ZnPbF_6 , CdPbF_6 , HgPbF_6 und NiPbF_6 .

PZ, 65 551(1970). MZ II

Bi-Pd-Cu, Pb-Sn-Zn, (gas-gas-pow.) 1969
Fe-Mn-Ni, Pb-Sn-Cd, 6) 7
Cd-Pb-Bi, Bi-Cd-Sn, CdO-SiO₂-Fe 9)
Olson N.Y., Toop G.W., VI 7339
U.S. At. Energy Comm., 1969, CONF-69080,
405-24 (same)

Prediction of ternary thermodynamic
nic properties and phase diagram
from binary data.

6 15 (pp) CA 1970, 43, N6, 29561B

ZnO - PbO

Система

1941

6 Б845. Фазовые соотношения в системе PbO—ZnO при больших давлениях кислорода. Keester K. L., White W. B. Phase relations in the system PbO—ZnO—O at high oxygen pressures. «J. Inorg. and Nucl. Chem.», 1971, 33, № 10, 3269—3284 (англ.)

Изучены фазовые соотношения в системе PbO—ZnO—O при давл. O_2 до 4 кбар методом закалки образцов с послед. рентгеновскими исследованиями. Выделены фазы $ZnPbO_3$ (I), Zn_2PbO_4 (II), $Pb_{1-x}ZnO_x$ (III),

РНСХ, 1972, № 6

где $x \approx 0,012$ и определены области их устойчивости до 750° . Из-за наличия в образцах неудалимой ZnO фазы точно не охарактеризованы. I обладает ромбич. или более высокой сингонией, II—гексагон. решеткой с параметрами $a = 19,652 \pm 0,015$ Å и $c = 7,245 \pm 0,013$ Å (или ромбич. решеткой с $a = 2b$). Для III с помощью ЭВМ определена возможная пространственная группа $P4/mmm$, $P4mm$, $P422$, $P4/m$, $\bar{P}4$, $P4$, параметры тетрагон. решетки $a = 3,8343 \pm 0,0003$ Å, $c = 10,5294 \pm 0,0015$ Å. Наличие этой фазы связывается с переходом тетрагон. модификация—ромбич. в PbO или с возможностью существования третьей модификации PbO .

Г. Л. Апарников

1972

Zn - Pb (cunsema)

Dobrev, Nikola, et al.

Metalurgiya, 1972, (11, 12) 30-3
(Bulg).

Thermodynamic functions of
the lead-zinc system.

(all Zn; T)



C.A. 1974. 80 W2

Sax. 2

γ
Zn-Pb

Chulab

1983

100: 11157r The thermodynamic properties and phase diagram of the zinc-lead system. Esdaile, J. D.; Sweett, Frank (Div. Miner. Eng., CSIRO, Clayton, 3168 Australia). *Metall. Trans. A* 1983, 14A(11), 2211-18 (Eng). A Gaussian plus a Krupkowski formalism (1960) was used to represent the phase diagram, b.p. data, and thermodn. properties of the Zn-Ph system. The high-shear technique of Esdaile and Siviour (1979) was adapted for measurements of the monotectic conditions and boundaries of the liq. miscibility gap. The monotectic conditions were 690.94 K and 1.017 wt.% Pb.

непр. cb-fa

фазофакт

Графиками

c.A.1984, 100, N2

Pb₂ZnSi₂O₇

1986

9 В13. Условия образования и свойства свинцового гардистонита. Исматов А. А., Гулямов Б. М., Таиров Р. З. «Узб. хим. ж.», 1986, № 6, 14—19 (рез. узб.)

Определены оптим. условия получения, механизм образования Pb₂ZnSi₂O₇, а также уточнены и определены их основные кристаллохим. константы.

Резюме

X. 1987, 19, № 9.

(Pb, Sn, Zn)

1997

Naguett. C.,
Azzouzi M. et al.

(mix II)

J. Chim. Phys. Phys.-Chim.
Biol. 1997, 94 (5), 1026-
1035.

(cui. Al, Ga, Sn; I)